

нение выбранной модели в районах порогов требует дополнительного обоснования. Наиболее тщательно в нашей работе изучалась область непрерывного спектра в районе серий резонансов, сходящихся к $n=3$ порогу развала H^- . Сечения, полученные в L - и V -приближениях, лежат в пределах ошибок эксперимента. Результаты обработки наших данных по формулам изолированного резонанса (см., напр., [1]) и сравнение их с данными других авторов даны в таблице. Следует обратить внимание на тот факт, что на рис. 1 и в таблице опущены данные о структурах с ширинами порядка 10^{-4} и меньше, наблюдаемых нами при энергиях возбуждения 12,5325; 12,6525; 12,69 и 12,833 эВ. Возможно, эти структуры (они видны на рис. 2 и 3) обусловлены недостаточной точностью используемого варианта численной реализации метода R -матрицы. В работах других авторов структуры подобных размеров не обсуждаются в связи с недостаточной точностью расчетов [3]. Из данных, приведенных на рис. 2, видно, что развал дважды возбужденного H^- идет главным образом на $2p$ -состояние остаточного H , что наиболее ярко проявляется в точках узких резонансов. На рис. 3 показано поведение параметров анизотропии β_{2p} и $\beta_{n=2}$, рассчитанных в V -приближении; β -параметры имеют аналогичную структуру и в L -приближении.

Расчеты выполнены на ЭВМ ЕС-1066 НИИЯФ МГУ и ЕС-1036 ВЦ ХПИ. Авторы благодарят участников научного семинара ЛТП НИИЯФ МГУ под руководством проф. В. В. Балашова, а также Ю. Ф. Смирнова, Л. Я. Стотланда, А. М. Широкова за полезные обсуждения. Авторы также выражают благодарность сотрудникам ВЦ ХПИ Л. В. Белоусовой, И. Н. Мирошниченко за помощь в подготовке программного обеспечения.

ЛИТЕРАТУРА

- [1] Бурков С. М., Страхова С. И. // Вестн. Моск. ун-та. Физ. Астрон. 1984. 25, № 3. С. 42. [2] Бурков С. М., Летяев Н. А., Страхова С. И. // Там же. 1989. 30, № 1. С. 6. [3] Anil Pathak et al. // J. Phys. B: At. Mol. Opt. Phys. 1988. 21. P. 2939. [4] Fanò U. // Rep. Phys. 1983. 46. P. 97. [5] Berrington K. A. et al. // Comp. Phys. Comm. 1978. 14. P. 367. [6] Pekeris C. L. // Phys. Rev. 1962. 126. P. 1470. [7] Hamm M. E. et al. // Phys. Rev. Lett. 1979. 43. P. 1715. [8] Smith S. J., Burch D. S. // Phys. Rev. 1957. 116. P. 1125. [9] MacArthur D. W. et al. // Phys. Rev. 1985. A32. P. 1921. [10] Cohen S. et al. // Phys. Rev. 1987. A36. P. 4728.

Поступила в редакцию
16.01.90

ВЕСТН. МОСК. УН-ТА. СЕР. 3, ФИЗИКА, АСТРОНОМИЯ. 1990. Т. 31, № 4

ОПТИКА И СПЕКТРОСКОПИЯ

УДК 535.14

КВАНТОВЫЕ ФЛУКТУАЦИИ И СЖАТЫЕ СОСТОЯНИЯ В НЕЛИНЕЙНОМ РЕЗОНАТОРЕ

А. В. Белянский

(кафедра общей физики и волновых процессов)

Предложено квантовое решение задачи об эволюции поля в нелинейном резонаторе произвольной добротности. На примере происходящей в нем фазовой самомодуляции или параметрического усиления показана несостоятельность соответствующих полуклассических теорий. В частности, предсказываемая ими эффективность сжатия оказывается преувеличенной, а рекомендуемые режимы его достижения — не оптимальными.

Получение и использование квантовых сжатых состояний в последние годы вызывают повышенный интерес, поскольку они связаны с решением целого ряда фундаментальных и прикладных проблем. Их привлекательность обусловлена возможностью снижения дробовых шумов фотодетектирования, что ведет к повышению предельных характеристик разнообразных высокоточных измерительных и преопередающих систем [1—3]. Однако экспериментальных результатов по получению глубокого сжатия за последние три года практически нет [2, 3]. Примерно двукратное по-

давление дробовых шумов остается рекордным. Одной из причин такого положения, видимо, являются слишком обнадеживающие прогнозы полуклассических теорий генерации сжатых состояний в резонаторах [2, 4], поскольку именно при помощи последних осуществляется большинство экспериментов. Так, в [4] с использованием полуклассического подхода, справедливого к тому же лишь для высокочастотных резонаторов, прогнозируется идеальное сжатие излучения, сформированного в бистабильном резонаторе, содержащем среду с кубической нелинейностью. При этом режим работы должен быть максимально приближен к пороговому (соответствующему скачку из нижнего устойчивого состояния в верхнее), а отстройка Ω от несущей равна нулю. Аналогичные предсказания следуют и из полуклассических теорий параметрического усиления в резонаторах [2]. Квантовое решение задачи, изложенное далее, приводит к иным результатам: эффективность сжатия оказывается меньшей, оптимальным является допороговый режим, а частота Ω должна быть отлична от нуля. Более того, в резонаторе с фазовой самомодуляцией на пороге вместо сжатия может происходить рост флуктуаций обеих квадратур.

Пусть резонатор, например Фабри-Перо, содержащий среду с кубической нелинейностью, освещается когерентной волной и в нем устанавливается поле с некоторой средней интенсивностью, обуславливающей нелинейный фазовый набег Ψ за один полный обход. Нас будут интересовать квантовые флуктуации однофотонного излучения перед выходным зеркалом. Для их описания воспользуемся моделью, согласно которой флуктуационная часть поля складывается из флуктуаций с нулевой средней амплитудой исходно когерентных или вакуумных состояний, проникших в резонатор через частично пропускающие зеркала и совершивших различное число обходов m . Если взаимное влияние этих волн в процессе взаимодействия отсутствует, то результирующее поле представляет собой просто их суперпозицию, например $a(t) = \sum_1^m a_m(t)$, где $a(t)$ — медленно меняющийся оператор уничтожения фотона в пред-

ставлении Гейзенберга.

Этот результат получается из следующих несложных соображений. Вначале для простоты положим, что одно из зеркал резонатора — глухое с единичным коэффициентом отражения. Амплитудные коэффициенты отражения и пропускания другого зеркала соответственно R и τ , причем $R^2 + \tau^2 = 1$. Пусть внутри резонатора перед светоделительным зеркалом в некоторый начальный момент времени t_i имеется мода излучения, характеризуемая оператором $a_i(t_i)$. После первого акта отражения ее оператор уничтожения равен $a_i'(t_i) = Ra_i(t_i) + \tau a_0(t_i)$, где a_0 соответствует проникшей в резонатор внешней моде, например вакуумной. Преобразование в резонаторе регулярной части внешнего сигнала адекватно описывается классически, поэтому может нами не учитываться. После полного обхода резонатора (за время T) и взаимодействия в нелинейной среде оператор $a_i'(t_i)$ эволюционирует в некоторый новый $a_1(t_1)$. Конкретный вид преобразования будет рассмотрен ниже. Второму акту преобразования ($m=2$) соответствует $a_2'(t) = Ra_1(t_i) + \tau a_0(t_i + T)$, где T — время полного обхода резонатора, $t = t_i + (m-1)T$ — текущий момент времени, и т. д. Очевидно, что операторы $a_m(t_1)$ и $a_n^+(t_2)$ при $m \neq n$ коммутируют. Стационарному взаимодействию соответствуют условия $m \rightarrow \infty$ и $t \rightarrow -\infty$. При этом, в силу того что $|R| < 1$, член $R^m a_i(t_i)$ пропадает и мы приходим к простому суммированию исходно вакуумных флуктуаций, совершивших различное число проходов m . При описании резонатора с двумя частично пропускающими зеркалами появляется лишь дополнительная сумма, соответствующая проникшим через второе зеркало вакуумным флуктуациям и также совершившим m обходов. Такая модель справедлива при квазилинейном преобразовании флуктуаций в среде:

$$a_m(t) = (R_1 R_2)^{m-1} \exp\{-im\theta\} \left\{ \tau_1 \exp\{-i\theta/2\} [\mu_{m-1/2} a_{0m1} \{t - T(m-1/2)\}] + \right. \\ \left. + \nu_{m-1/2} a_{0m1}^+ \{t - T(m-1/2)\}] + \tau_2 R_1 [\mu_m a_{0m2} (t - mT) + \nu_m a_{0m2}^+ (t - mT)] \right\}, \quad (1)$$

где индексы «1» и «2» относятся к первому (входному) и второму (выходному) зеркалам, операторы a_{0m} и a_{0m}^+ соответствуют входящему в резонатор вакуумному излучению, μ_m и ν_m — постоянные, определяемые видом взаимодействия в среде, $\theta = \omega T$ — фазовый набег за это время на несущей частоте ω .

Коммутаторы входящих в (1) операторов таковы:

$$[a_{0mj}(t_1), a_{0nk}^+(t_2)] = \delta_{jk}, \quad [a_{0mj}(t_1), a_{0nk}^+(t_2)]_{m \neq n} = \\ = \begin{cases} \delta_{jk} & \text{при } |\Delta t| < T, \\ 0 & \text{при } |\Delta t| \geq T, \end{cases} \quad \Delta t = t_2 - t_1. \quad (2)$$

При $m \neq n$ эти операторы коммутируют в случае $|\Delta t| > T$, поскольку при разделении во времени на интервал T и более они описывают независимые вакуумные флуктуации.

Снижение дробовых шумов фотодетектирования возможно, например, при гетеродинировании выходящей из резонатора одномодовой волны. Из общего описания детектирования [1] следует, что при совпадении частоты гетеродина с собственной частотой моды корреляционная функция фототока равна

$$G(\Delta t) = \eta^2 \langle I \rangle^2 + \eta \langle I \rangle \delta(\Delta t) + \eta^2 I_{l.o.} (\tau_2^2/T) \{ \langle a^+(t_1) a^+(t_2) \rangle + \exp\{-i \cdot 2\varphi_{l.o.}\} \langle a^+(t_1) a(t_2) \rangle + \text{к. с.} \} \Phi(\Delta t) + (t_1 \leftrightarrow t_2), \quad (3)$$

где $\langle I \rangle$ — средняя интенсивность излучения, $I_{l.o.}$ и $\varphi_{l.o.}$ — интенсивность и фаза гетеродина, η — квантовый выход, а ступенчатая функция $\Phi(\Delta t)$ отлична от нуля и равна единице только при $\Delta t \geq 0$.

Прохождение одномодовым излучением среды, в которой происходит фазовая самомодуляция, описывается зависимостью [5] $a(t) = \exp\{-i\chi^{(3)} a_0^+ a_0 t\} a_0$, где $\chi^{(3)}$ — коэффициент кубической нелинейности, а индекс «0» соответствует $t=0$. Тогда при $\chi^{(3)} t \ll 1$, что всегда выполняется на практике, имеем $\mu_m = 1 - im\varphi$, $\nu_m = -im\varphi \times \exp\{-i \cdot 2\varphi\}$, где φ — постоянная фаза, связанная с фазой регулярной составляющей сигнала. Определяя корреляционную функцию (3), а затем ее спектр, получим (фаза гетеродина опущена, так как она просто суммируется с φ)

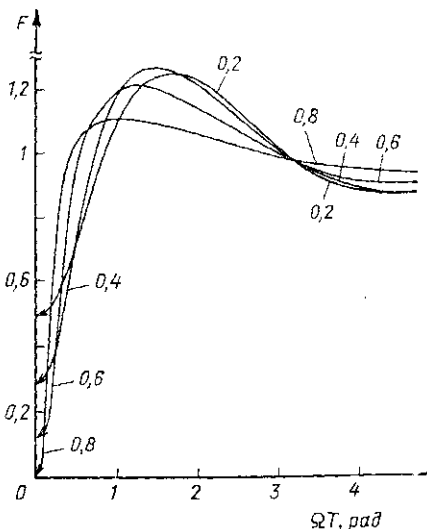
$$G(\Omega) = \eta^2 \langle I \rangle^2 \delta(\Omega) + \eta \langle I \rangle + 2\eta^2 I_{l.o.} \Psi \tau_2^2 \left\{ \delta(\Omega) \sum_{m=1}^{\infty} (R_1 R_2)^{2(m-1)} \times \right. \\ \times [\tau_1^2 \Pi_{m-1/2,0} + R_1^2 \tau_2^2 \Pi_{m,0}] + 2 \operatorname{sinc}(\Omega T/2) \sum_{n=1}^{\infty} \sum_{m=1}^{\infty} (R_1 R_2)^{2(m-1)+n} \times \\ \times [\tau_1^2 \Pi_{m-1/2,n} + R_1^2 \tau_2^2 \Pi_{m,n}] \cos[(n+1/2)\Omega T] \}, \quad (4) \\ \Pi_{m,n} = [2(m+n) \Psi \sin^2(\varphi + m\theta) - \sin 2(\varphi + m\theta)] m.$$

Из этого соотношения следует, что эффективное подавление дробовых шумов возможно лишь в результате некоторой отстройки от собственной частоты моды, так как

$G(0) \propto \delta(\Omega)$. В этой связи важно отметить критичность системы именно к одномодовому режиму, поскольку на выбранной нами частоте отстройки могут появиться другие моды, взаимодействующие в резонаторе, учет которых внесет в общую картину соответствующие δ -функции и эффект сжатия окажется уничтоженным. При дискретном наборе мод необходимо выбирать Ω в межмодовых интервалах частот.

Как показывают расчеты, идеальное сжатие не достигается ни при каких значениях входящих в (4) параметров. Вблизи порога получено лишь увеличение флуктуаций. Однако режимы работы, в которых формируются сжатые состояния, возможны (см. рисунок). Оптимальным является допороговый режим. Стрелки на рисунке отражают тот факт, что при $\Omega=0$ величина F бесконечна (δ -функция). При построении графиков проведена оптимизация по φ и θ для $\Omega T \rightarrow 0$: при $R^2=0,2$ $\varphi=0,197$, $\theta=-0,03$; при $R^2=0,4$ $\varphi=0,136$, $\theta=-0,0139$; при $R^2=0,6$ $\varphi=0,084$, $\theta=-0,0051$; при $R^2=0,8$ $\varphi=0,039$, $\theta=-0,011$.

По изложенной методике исследовано также резонаторное вырожденное одномодовое параметрическое усиление в поле неистощающейся классической накачки. Результаты получаются качественно похожими. Оптимальным является допороговый.



Графики зависимости фактора Фано $F = G/\langle I \rangle$ от ΩT при $\langle I \rangle/I_{l.o.} = R_1 = \eta = \Psi = 1$. Цифры при кривых соответствуют значению R^2 . Когерентному излучению соответствует $F=1$

режим, необходима ненулевая отстройка Ω и обеспечение однодмодовой генерации. Наибольшее подавление дробовых шумов также достигается при $\eta=1$, $\langle I \rangle = I_{i,0}$ и «одностороннем» резонаторе, т. е. $R_1=1$. Оптимальными фазами являются $\theta=2\pi k$, $\varphi_{i,0}-\varphi=\pi+2\pi k$, $k=0, 1, 2, \dots$. При этом

$$\frac{G(\Omega \neq 0)}{\langle I \rangle} = 1 - 2R_2 e^{-\gamma} \operatorname{sinc}(\Omega T) \frac{\tau_2^2 (1 - e^{-2\gamma}) (2 \cos \Omega T - 1 - R_2 e^{-\gamma})}{(1 - R_2^2 e^{-2\gamma}) (1 - 2R_2 e^{-\gamma} \cos \Omega T + R_2^2 e^{-2\gamma})}, \quad (5)$$

где γ — инкремент усиления за один обход резонатора. Порогу соответствует $R_2 = e^{-\gamma}$ (соотношение (5) справедливо и при превышении порога генерации).

Изложенные результаты существенно отличаются от известных выводов и прогнозов, сделанных на основе полуклассического рассмотрения. В чем же причина этих различий? Она заключается в неодинаковости классического и квантового описаний отражения от частично пропускающего зеркала. Если классическая волна разделяется при этом на прошедшую и отраженную регулярным образом, то деление потока квантов носит вероятностный характер, и чем меньше коэффициент отражения, тем существенней это сказывается на результирующей картине в отраженной волне. Этим и объясняется увеличение количественных различий полуклассического и квантового описаний с уменьшением добротности резонатора.

Отметим также, что аналогичная ситуация наблюдается и при двулучевой интерференции в схеме интерферометра Маха-Цендера, в одном из плеч которого расположена среда с кубической нелинейностью. Там также результаты полуклассического и квантового подходов существенно различаются [6].

Автор благодарен А. С. Чиркину за полезные обсуждения.

ЛИТЕРАТУРА

- [1] Смирнов Д. Ф., Трошин А. С. // УФН. 1987. 153. С. 233. [2] Squeezed states of electromagnetic field // J. Opt. Soc. Am. 1987. В4, N 10. [3] Abstracts of Papers for the Sixth Rochester Conference on Coherence and Quantum Optics. N. Y. June 1989. [4] Reynaud S., Giacobino E. // J. de Physique. 1988. 49, N 6. P. C2-477. [5] Ritze H. H., Bandilla A. // Opt. Commun. 1979. 29. P. 126. [6] Белинский А. В., Чиркин А. С. // Квант. электроника. 1989. 16. С. 889.

Поступила в редакцию
26.09.89

ВЕСТН. МОСК. УН-ТА. СЕР. 3, ФИЗИКА. АСТРОНОМИЯ. 1990. Т. 31. № 4

УДК 535.2:373.2

ЧИСЛЕННОЕ ИССЛЕДОВАНИЕ ПОЛЯРИЗАЦИОННОГО ГИСТЕРЕЗИСА В ДВУХПРОХОДНОЙ ОПТИЧЕСКОЙ СИСТЕМЕ С НЕЛИНЕЙНОЙ СРЕДОЙ И ПОВОРОТНЫМ ЗЕРКАЛОМ

В. А. Булохова, А. А. Голубков, Я. М. Жилейкин, В. А. Макаров

(кафедра общей физики и волновых процессов)

Исследована устойчивость стационарных состояний поля в поляризационном отражателе. Показано существование в нем поляризационной бистабильности и гистерезисных эффектов.

В работе [1] было показано, что взаимодействие встречных волн в поляризационном отражателе (оптической системе, состоящей из плоского зеркала и помещенной перед ним изотропной непоглощающей среды с кубической нелинейностью) в стационарном режиме может приводить к появлению неоднозначной зависимости угла поворота Φ эллипса поляризации дважды прошедшего среду излучения от степени эллиптичности падающего света B . При этом интенсивность и степень эллиптичности света на входе и выходе системы одинаковы. В настоящей работе численно исследована устойчивость различных ветвей стационарных зависимостей Φ от B и от интенсивности распространяющегося света W . Показано, что в отражателе могут быть реализованы поляризационная мультистабильность и гистерезисные переключения.